

مروری بر نظریه های اختلالی QED و QCD

ابوالفضل میر جلیلی

پژوهشگاه دانشهای بنیادی

پژوهشکده فیزیک

۱۶ شهریور ۱۳۸۴

چکیده: این درسنامه شامل سه بخش می باشد. دربخش اول تاریخچه فیزیک ذرات بنیادی از زمانی که الکترون در سال ۱۸۹۷ کشف گردید تا ارائه مدل کوارکی توسط گلیمان مورد بررسی قرار می گیرد. در بخش دوم نظریه الکترو دینامیک کوانتومی جهت توصیف الکترو مغناطیسی اندر کنشهای ذرات بنیادی معرفی می شود. در بخش آخر نگاهی خواهیم داشت بر انجام محاسبات مرتبه دوم در نظریه های اختلالی QED و QCD. حضور حلقه ها در دیاگرامهای فاینمن مربوط و بالطبع آن واگرائیها و نامحدود شدن دامنه پراکندگی مورد توجه قرار می گیرد. یکی از راههای غلبه بر این مشکل آن است که کمیاتی نظیر بار الکتریکی و جرم را مجدداً تعریف نموده تا نتیجه نهائی برای دامنه های پراکندگی محدود باقی بماند. این عمل را اصطلاحاً باز بهنجارش پذیری می نامند. شکل های دیگر باز بهنجارش پذیری کمیات نیز مورد بحث قرار میگیرد.

۱ مرور تاریخی بر فیزیک ذرات بنیادی

فیزیک ذرات بنیادی در سال ۱۸۹۷ و با کشف الکترون توسط تامسون متولد شد. سپس رادرفورد با آزمایش پراکندگی ذرات آلفا از ورقه ی نازک طلا، نشان داد که اتم باید از هسته ای متراکم و سنگین تشکیل شده باشد. این هسته از ذراتی با بار مثبت به نام پروتون تشکیل شده که در کنار هم قرار گرفته اند. در سال ۱۹۱۴ بوهر مدلی را برای هیدروژن پیشنهاد داد که از یک الکترون تشکیل شده و در اطراف هسته در حرکت بود.

بورتوانست طیف هیدروژن را محاسبه کند که توافق آن با آزمایش جالب بود. اتم سنگین تر بعدی (هلیوم) گرچه دو الکترون دارد ولی وزن آن چهار برابر اتم هیدروژن است. لیتیوم هفت برابر هیدروژن وزن دارد و غیره. این معما سرانجام در سال ۱۹۳۲ با کشف نوترون توسط چادویک حل شد. ذره‌ای که مانند پروتون اما بدون بار الکتریکی است.

اما چه چیزی این ذرات با بار مثبت را، که شدیداً یکدیگر را دفع می‌کنند، در کنار هم نگه داشته است؟. یوکاوا در سال ۱۹۳۴ فرض کرد که پروتون‌ها و نوترون‌ها به وسیله‌ی نیرویی که قویتر از نیروی دافعه الکتریکی است و نیروی قوی هسته‌ای نامیده می‌شود با یکدیگر در ارتباط بوده و در کنار هم قرار گرفته‌اند. ذره‌ی ناقل این نیرو را مزون پی (پایون^۱) نامید. اگر یک نوکلئون، یک مزون با جرم سکون M گسیل کند، پایستگی انرژی، حداقل به اندازه‌ی $\Delta E = Mc^2$ نقض خواهد شد. اما طبق اصل عدم قطعیت هایزنبرگ، این نقض پایستگی، برای مدت زمانی که در رابطه‌ی $\Delta E \cdot \Delta t \geq \hbar$ صدق کند مجاز می‌باشد. در نتیجه:

$$\Delta t \approx \frac{\hbar}{\Delta E} = \frac{\hbar}{Mc^2} . \quad (1-1)$$

بُرد نیروی قوی به طور تجربی تقریباً برابر با 10^{-13} سانتیمتر برآورد شده است. در نتیجه با استفاده از رابطه بالا جرم پایون حدود 300 برابر جرم الکترون (150 Mev) بدست می‌آید که با مقدار تجربی که برای جرم پایون بدست آمده است (140 Mev) بخوبی سازگاری باشد. چون این مقدار، کمتر از جرم پروتون است ذره‌ی ناقل را مزون (یعنی ذره‌ی میانی) نامیدند.

مرحله بعد در گسترش فیزیک ذرات مربوط به پیش بینی و کشف ذره‌ی بنام نوترینو می‌باشد. وجود این ذره برای اولین بار در واپاشی بتای هسته‌ای مطرح شد. واپاشی زیر را واپاشی بتای هسته‌ای می‌نامیم:

$$N_{A,Z} \longrightarrow N_{A,Z+1} + e^- , \quad (2-1)$$

که در آن $N_{A,Z}$ ، یک هسته با عدد جرمی A و عدد اتمی Z است. اگر $M_{A,Z} < M_{A,Z+1} + M_e$ باشد (M جرم هسته است)، بدین معنی است که انرژی پیوند منفی است و $N_{A,Z}$ هسته‌ای پایدار است. اگر $M_{A,Z} > M_{A,Z+1} + M_e$ باشد، این هسته ناپایدار است و خود به خود واپاشی می‌کند. ساده‌ترین واپاشی بتای هسته‌ای، تجزیه‌ی یک نوترون به یک پروتون و یک الکترون است. چون جرم نوترون از مجموع جرم‌های پروتون و الکترون بیشتر است پس نوترون ناپایدار است و (اگر منفرد باشد) خود به خود واپاشی می‌کند.

^۱ pion

اولین بار که واپاشی نوترون مشاهده شد، توازن انرژی در دو طرف رابطه (۱-۲) برقرار نبود و دانشمندان در صدد حل این معما بودند. نیلز بوهر پیشنهاد داد که قانون بقای انرژی کنار زده شود. اما مشکل اینجا بود که اسپین نیز در واپاشی نوترون پایسته نمی ماند. بدین دلیل، پائولی پیشنهاد داد که ذره‌ی دیگری با اسپین نیم صحیح نیز باید تولید شود، یعنی:

$$n \rightarrow p + e^{-} + \bar{\nu} \quad (۱-۳)$$

اسپین $\bar{\nu}$ برابر است با $1/2 -$ که پایستگی اسپین را برقرار می سازد. ذره‌ی ν را نوترینو می نامند.

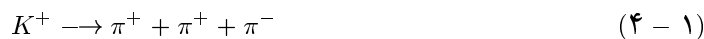
یک دلیل بارز دیگر بر وجود نوترینو در واپاشی بتای هسته‌ای آن است که انرژی الکترون تولید شده در این واپاشی ثابت نبوده و متغیر می باشد. اگر محصولات نهایی یک واپاشی، فقط دو ذره باشد و ذره‌ی مادر در حال سکون باشد، در دستگاه مختصات مرکز جرم، دو ذره‌ی تولید شده باید با اندازه حرکت‌های مساوی و در خلاف جهت یکدیگر حرکت کنند (قانون پایستگی اندازه حرکت). پس هر بار که آزمایش را انجام می دهیم انرژی ذرات تولید شده نباید تفاوت کند. اما اگر سه ذره یا بیشتر تولید شود، زاویه‌ی بین جهت انتشار ذرات می تواند تغییر کند. پس اندازه حرکت و در نتیجه انرژی ذرات تولید شده، از یک آزمایش به آزمایش دیگر می تواند تغییر کند. در واپاشی بتای هسته‌ای انرژی الکترون تولید شده که بطور آزمایشگاهی اندازه گیری می شود متغیر است و این دلالت بر وجود ذره‌سومی در محصولات واپاشی دارد که آنرا نوترینو می نامند.

به لحاظ تاریخی جرم سکون نوترینو باید صفر فرض شده است. زیرا ثابت شده که نوترینو ذره‌ای قطبیده است. بدین معنا که اسپین آن با راستای حرکت آن پاد موازی است. حال اگر یک نوترینو با سرعتی کمتر از سرعت نور در راستای مثبت x حرکت کند، همواره یک ناظر وجود خواهد داشت که در راستای مثبت x و با سرعتی بیش از آن حرکت کند. از دید این ناظر، نوترینو در راستای منفی x حرکت خواهد نمود ولیکن جهت اسپین تغییر نخواهد کرد. به عبارتی می توان با تبدیل دستگاه مختصات، یک نوترینو را به پاد نوترینو تبدیل نمود که این غیر ممکن است. پس نوترینو دارای سرعتی برابر با سرعت نور بوده و جرم سکون آن صفر می باشد.

۱.۱ باریونها و مزونها

در سال ۱۹۴۷ راجستر و باتلر عکس یک اتاقک ابری را منتشر کردند که در آن پرتو کیهانی پس از عبور از طبقات فوقانی جو به یک صفحه‌ی سربی برخورد می کرد. ردهای V شکل بجا مانده در زیر این صفحه حکایت از واپاشی یک ذره‌ی سنگین با جرمی حدود 1000 برابر جرم الکترون به یک پایون مثبت و یک پایون منفی را داشته است. این ذره را

کایون خنثی (K^0) نامیدند. دو سال بعد پائولی عکسی را منتشر کرد که واپاشی یک کایون باردار را به سه پایون نشان می داد:



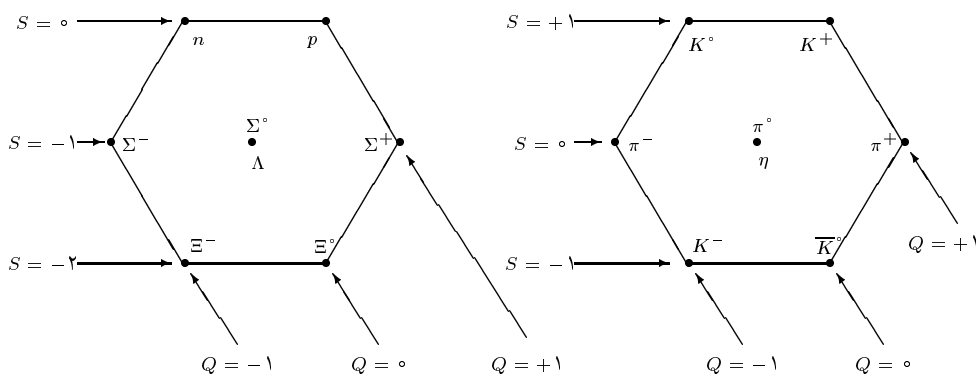
کایون ها را در خانواده ی "مزون ها" قرار دادند.

در سال ۱۹۵۰ ذره ی سنگین دیگری کشف گردید که به یک پروتون و یک پایون واپاشی می کرد و آنرا لاندا نامیدند :



لاندا را همراه با پروتون و نوترون در خانواده ی "باریونها" جای دادند. به مجموعه ذرات جدیدی که بدین ترتیب کشف گردیدند ذرات شگفت نامیدند. شگفتی این ذرات به این دلیل بود که معلوم شد آنها به میزان بسیار فراوان (در یک مقیاس زمانی حدود 10^{-23} ثانیه) تولید می شوند ولی تقریباً کُند واپاشی می کنند (حدود 10^{-10} ثانیه). امروزه می دانیم که تولید ذرات شگفت توسط نیروی قوی صورت می گیرد ولیکن واپاشی آنها تحت تاثیر نیروی ضعیف (نیروی دخیل در واپاشی بنا) می باشد. در پی مشاهدات دیگر تعداد این ذرات رو به افزونی نهاد. از اینرو به نظر می آید که نیاز مند به طبقه بندی جدیدی برای این ذرات می باشیم.

در سال ۱۹۶۱ موآری گلمان^۲ مدل راه هشتگانه^۳ را جهت طبقه بندی ذرات بنیادی ارائه نمود [۱]. در این مدل، باریون ها و مزون ها، بسته به بار الکتریکی و عدد شگفتی که حمل می کنند در آرایه های منظم هندسی جای می گیرند. بعنوان مثال هشت باریون سبک و هشت مزون سبک، هر کدام می توانند مطابق شکل زیر در رئوس یک هشت ضلعی قرار گرفته و دو ذره دیگر نیز در مرکز آنها جای گیرد.



شکل (۲-۱): هشت تایی باریونی

شکل (۱-۱): هشت تایی مزونی

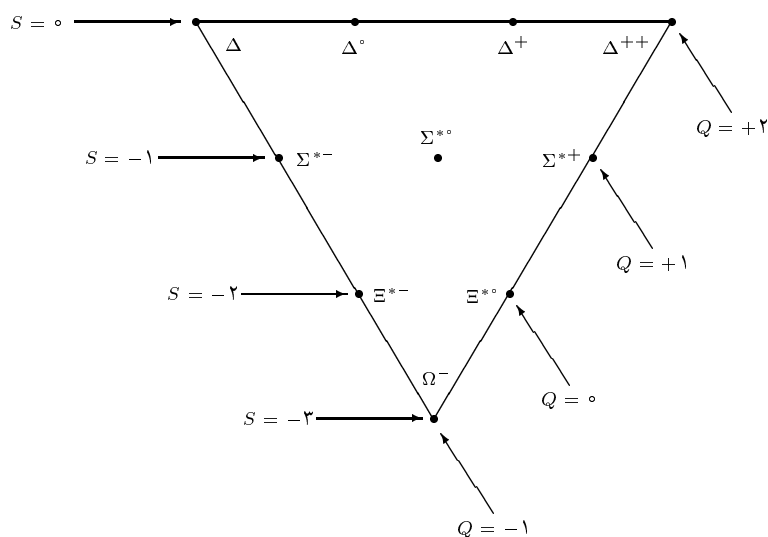
Murray Gell-Man^۲
The eightfold way^۳

توجه شود که ترتیب اعداد شگفتی در دو شکل یکسان نمی باشد و عدد شگفتی در رابطه‌ی زیر صدق می کند [۲]:

$$Q = I_3 + \frac{B}{3} + \frac{S}{3} \quad (1-6)$$

که در آن I_3 مولفه‌ی سوم ایزواسپین I ، B عدد باریونی و S عدد شگفتی بوده و Q ، معرف بارالکتریکی ذره می باشد. متغیر ایزواسپین می تواند جهت معرفی چند تایی ذرات در یک دسته مورد استفاده قرار گیرد. بعنوان مثال برای سه نوع پایون π^+ ، π^0 و π^- داریم $3 = 1 + 2I$ و در نتیجه $I = 1$ و I_3 می تواند از -1 تا $+1$ ، با فاصله‌های واحد تغییر کند. از اینرو برای π^- ، $I_3 = -1$ ، برای π^0 ، $I_3 = 0$ و برای π^+ ، $I_3 = +1$ می باشد. عدد باریونی B در این رابطه بگونه ای تعریف میشود که برای هر باریون برابر با $+1$ ، برای هر آنتی باریون برابر با -1 و برای سایر ذرات صفر در نظر گرفته می شود.

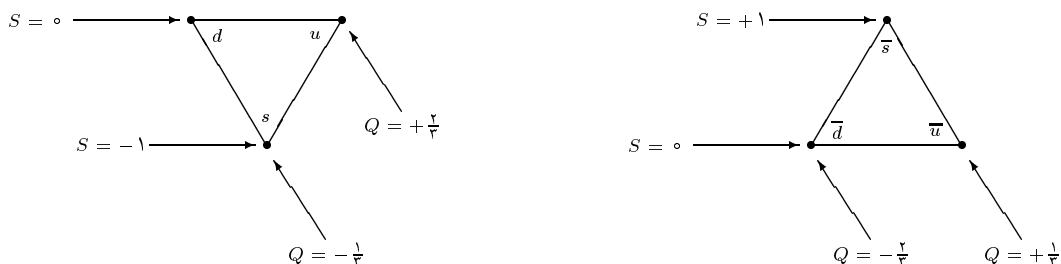
ده تایی باریون‌های سنگین در یک مثلث همانند شکل (۱-۳) قرار می گیرند.



شکل (۱-۳): ده تایی باریونی

وقتی گل‌مان این آرایه را مرتب می کرد، ذره‌ی پایینی، یعنی Ω^- هنوز کشف نشده بود و بدین ترتیب وجود آن پیش بینی شده و حتی جرم و عمر آن نیز محاسبه گردید. سه سال بعد Ω^- کشف شد و صحت مدل هشتگانه به اثبات رسید [۳]. بقیه‌ی هادرون‌ها نیز به همین صورت در ابر چند گانه‌ها قرار گرفتند. موفقیت راه هشتگانه این سوال را بر می انگیزد که چرا هادرون‌ها که اینک بعنوان مجموع باریون‌ها و مزون‌ها در نظر گرفته می شود در این الگو

های عجیب جای می گیرند. در سال ۱۹۶۴ گلمان و شوایک^۴ هر کدام به طور جداگانه پیشنهاد کردند که تمام هادرونها از ذرات بنیادی تری بنام کوآرک تشکیل شده‌اند [۴] که از یک الگوی چندگانه‌ی مثلثی تبعیت می کنند.



شکل (۱-۵): کوآرک‌ها

شکل (۱-۴): پاد کوآرک‌ها

هر کوآرک دارای یک طعم^۵ (u یا d یا s) است و تمام کوآرک‌ها اسپین نیم صحیح دارند. مطابق مدل کوآرکی هر باریون از سه کوآرک و هر مزون از یک کوآرک و آنتی کوآرک تشکیل شده است. هر کوآرک، یک پاد کوآرک دارد که تمام کوانتومی آنها در یک علامت منفی بایکدیگر متفاوت می باشد. بدین ترتیب، با پیشگویی وجود کوآرک‌ها، جدول ذرات بنیادی کامل گردید.

با وجود آنکه مدل کوآرکی در طبقه بندی ذرات، بسیار موفق بوده است اما تا کنون یک کوآرک منفرد مشاهده نشده است. سبکترین کوآرک باید پایدار باشد، زیرا نمی تواند به ذرات سبکتر واپاشی کند. اصولاً باید بتوانیم یک ذره‌ی پایدار را به راحتی ببینیم. بنا به دلایلی که بعداً روشن می شود، کوآرک‌ها در داخل هادرونها محبوسند و نمی توانند بیرون آیند^۶. از طرف دیگر، کوآرک‌ها دارای اسپین نیم صحیح هستند و طبق اصل طرد پائولی نمی توان بیش از دو عدد از آنها را در یک تراز جای داد. این در حالی است که مطابق مدل کوآرکی هر باریون از سه کوآرک تشکیل شده است. از طرفی، داده‌های تجربی بدست آمده از شتابدهنده‌های بزرگ ناشی از فرایند های ناکشسان ژرف بطور قطع، وجود سه جرم متمرکز درون پروتون را تایید می کنند و نمی توان مدل کوآرکی را به راحتی کنار نهاد. بدین منظور، گرینبرگ^۷ در سال ۱۹۶۴ یک عدد کوانتومی دیگر به نام رنگ^۸ نیز به کوآرک‌ها نسبت داد [۵]. سه کوآرک داخل پروتون، به ترتیب دارای رنگ‌های قرمز و سبز و آبی هستند که مجموع آنها، سفید (بی رنگ) می باشد. تابع موج رنگ، ضربدر تابع موج طعم، ضربدر

Zweig^۴
 flavor^۵
 quark confinement^۶
 Green berg^۷
 color^۸

تابع موج فضایی، ضربدر تابع موج اسپینی یک تابع موج پاد متقارن خواهد بود که مناسب کوارک‌های با اسپین نیم صحیح می باشد (تابع موج طعم، متقارن است). داده‌های آزمایشگاهی نیز وجود عدد کوانتومی رنگ را تایید می کنند. باین تعریف از رنگ، مشخص است که تمام ذرات طبیعی، بیرنگ هستند و کوارک‌ها باید طوری در کنار یکدیگر قرار گیرند که ذرات بی رنگ خلق کنند. به همین دلیل است که یک کوارک آزاد (والزاماً رنگی) وجود ندارد.

۲ مقدمه‌ای بر نظریه الکترودینامیک کوانتومی

در این بخش اندرکنش‌های ذرات بنیادی مورد توجه است. در اکثر قسمت‌ها ما درباره تئوری اختلالی بحث خواهیم نمود بطوریکه دامنه‌ها بصورت سری‌های توانی و بر حسب شدت اندرکنش بیان می‌شوند. در بسط دامنه‌ها جمله غالب پایین‌ترین مرتبه بسط می‌باشد و بندرت جملات سایر مرتبه‌ها در نظر گرفته می‌شود. در تئوری اختلالی مکانیک کوانتومی عباراتی را برای دامنه‌ها بر حسب پتانسیل‌های اندرکنشی و توابع موج ذره آزاد بدست خواهیم آورد.

در ابتدا بعنوان یک مقدمه ضروری، به معرفی دو نوع معادله موج نسبیتی که بطور اصولی مورد اهمیت هستند می‌پردازیم که عبارتند از معادله کلاین گوردن^۱ که برای توصیف ذراتی با اسپین صفر بکار می‌رود و معادله دیراک^۲ که برای توصیف ذراتی با اسپین $\frac{1}{2}$ بکار می‌رود. همچنین در این خصوص بحث خواهیم نمود که چگونه با استفاده از تعبیر فاینمن می‌توان فرایندهایی را که حاوی ضد ذرات هستند توصیف نمود.

۱.۲ معادله کلاین-گوردن

معادله غیر نسبیتی شرودینگر می‌تواند با رابطه:

$$E = \frac{\vec{p}^2}{2m} \quad (1-2)$$

نمایش داده شود بطوریکه جایگذاری‌های عملگری زیر را داریم:

$$E \rightarrow i\frac{\partial}{\partial t}, \quad \vec{p} \rightarrow -i\vec{\nabla}. \quad (2-2)$$

این عملگرهای دیفرانسیلی روی یک تابع موج شرودینگر اثر می‌کند. اما در نظریه نسبیت خاص داریم:

$$E^2 = \vec{p}^2 + m^2. \quad (3-2)$$

در اینجا برای سهولت کار از دستگاه واحدهای طبیعی $\hbar = c = 1$ استفاده می‌شود. اگر در این معادله روابط عملگری (۲-۲) را قرار دهیم، بدست می‌آوریم:

$$-\frac{\partial^2 \phi(x,t)}{\partial t^2} = (-\vec{\nabla}^2 + m^2)\phi(x,t) \quad (4-2)$$

که $\phi(x,t)$ تابع موج نسبیتی است. معمول آن است که در نسبیت با چهار بردارها کار می‌

کنند بطوری که:

$$\begin{aligned} p^\mu &= (E, \vec{p}) \\ p^\nu &= p_\mu p^\mu = E^\nu - \vec{p}^\nu = m^\nu \\ \square^\nu &= \partial_\mu \partial^\mu = \frac{\partial^2}{\partial t^2} - \vec{\nabla}^2. \end{aligned} \quad (5-2)$$

از این پس چهار بردارها را بدون علامت بردار می‌نویسیم. با استفاده از معادله‌ی (۲-۴) و روابط (۲-۵)، می‌توان به معادله‌ی کلاین-گوردن^۹ بصورت زیر دست یافت [۶]:

$$(\square^\nu + m^\nu)\phi(x, t) = 0. \quad (6-2)$$

اگر موج تختی به شکل:

$$\phi(x, t) = Ne^{-iEt + i\vec{p}\cdot\vec{x}} = Ne^{-ip\cdot x} \quad (7-2)$$

را در معادله‌ی کلاین-گوردن قرار دهیم بدست می‌آوریم:

$$E^\nu = p^\nu + m^\nu \Rightarrow E = \pm(p^\nu + m^\nu)^{1/2} \quad (8-2)$$

که در چارچوب نظریه نسبیت خاص مورد قبول می‌باشد. می‌بینیم انرژی که به ذره نسبت داده می‌شود می‌تواند منفی باشد. این تنها مشکل موجود نیست. مشکل اساسی از چگالی احتمال ذره ناشی می‌شود. اگر رابطه‌ی (۲-۶) را در ϕ^* ضرب کنیم، سپس همیوگ مختلط این رابطه را در ϕ ضرب کنیم و دو رابطه‌ی حاصل را از هم تفریق کنیم به رابطه‌ی زیر می‌رسیم:

$$\frac{\partial \rho}{\partial t} + \vec{\nabla} \cdot \vec{j} = 0 \quad (9-2)$$

که تعریف کرده‌ایم:

$$\rho = i \left[\phi^* \frac{\partial \phi}{\partial t} - \left(\frac{\partial \phi^*}{\partial t} \right) \phi \right] \quad (10-2)$$

$$\vec{j} = i^{-1} \left[\phi^* \vec{\nabla} \phi - (\vec{\nabla} \phi^*) \phi \right].$$

با جایگذاری موج تخت (۲-۷) در این رابطه خواهیم داشت:

$$\rho = 2|N|^2 E. \quad (11-2)$$

اگر انرژی ذره بتواند منفی باشد آنگاه چگالی احتمال نیز می‌تواند منفی باشد که نتیجه غیر قابل قبولی است.

۱.۲ معادله‌ی دیراک

برای معادله کلاین-گوردن دلایل اینکه چرا مشکلات پیش آمده وجود داشت مشخص می‌باشد.

^۹ Klein-Gordon

الف) در ساختن تابع موج مرتبط با رابطه مربعی انرژی - اندازه حرکت

$$E^2 = (p^2 + m^2)$$

وجود جوابهای با انرژی منفی امکان پذیر می باشد.

ب) معادله کلاین - گوردن دارای جمله $\frac{\partial^2}{\partial t^2}$ می باشد. وجود این جمله منجر به معادله پیوستگی ائی خواهد شد که در آن چگالی احتمال شامل $\frac{\partial}{\partial t}$ است و از اینرو امکان اینکه چگالی احتمال منفی داشته باشیم وجود خواهد داشت.

دیراک با توجه به ویژگیهای فکری خاص خود به این مسائل بطور مستقیم توجه نمود و بمنظور آنکه چگالی احتمال مثبت ($\rho \geq 0$) را بدست آورد او به یک معادله ای نیاز داشت که نسبت به $\frac{\partial}{\partial t}$ خطی باشد. لذا برای داشتن هموردائی نسبیتهی، معادله باید همچنین نسبت به ∇ خطی باشد. او معادله زیر را فرض نمود [۷]:

$$i \frac{\partial \psi(x, t)}{\partial t} = \left[-i \left(\alpha_1 \frac{\partial}{\partial x^1} + \alpha_2 \frac{\partial}{\partial x^2} + \alpha_3 \frac{\partial}{\partial x^3} \right) + \beta m \right] \psi(x, t) \quad (2-12)$$

$$= (-i\alpha \cdot \nabla + \beta m) \psi(x, t)$$

α ها و β چه هستند؟. برای پیدا نمودن شرایط مربوط به این کمیات آنچه را که مربوط به یک معادله موج نسبیتهی می باشد در نظر بگیرید:

الف) رابطه صحیح نسبیتهی بین E و p

ب) هموردائی معادله تحت تبدیلات لورنتس .

اکنون معادله دیراک را بر حسب چهار بردارها، کمیات نرده ای و غیره می نویسیم. برای برآوره شدن شرط (الف) دیراک تابع موج ψ را بگونه ای انتخاب نمود که شرط مربوط به معادله کلاین - گوردن را برآورده کند. پس می توان این معادله را با معادله ی کلاین - گوردن مقایسه کرد و پارامترهای آزاد را بدست آورد. برای این کار رابطه ی

(۱۳-۲) را روی خودش اثر می دهیم:

$$\begin{aligned} \left(i \frac{\partial}{\partial t}\right)^2 \psi &= (-i\vec{\alpha} \cdot \vec{\nabla} + \beta m)(-i\vec{\alpha} \cdot \vec{\nabla} + \beta m)\psi \\ &= -\sum_{i=1}^3 \alpha_i^2 \frac{\partial^2 \psi}{\partial x_i^2} - \sum_{i>j=1}^3 (\alpha_i \alpha_j + \alpha_j \alpha_i) \frac{\partial^2 \psi}{\partial x_i \partial x_j} \quad (14-2) \\ &\quad -im \sum_{i=1}^3 (\alpha_i \beta + \beta \alpha_i) \frac{\partial \psi}{\partial x_i} + \beta^2 m^2 \psi \end{aligned}$$

با این فرض که ψ معادله کلاین - گوردن را برآورده میکند، خواهیم داشت:

$$\left(i \frac{\partial}{\partial t}\right)^2 \psi = -\sum_{i=1}^3 \frac{\partial^2 \psi}{\partial x_i^2} + m^2 \psi \quad (15-2)$$

واضح است که α ها و β ها نمی توانند کمیات معمولی کلاسیک جابجا پذیر باشند. در عوض این کمیات باید روابط نا جابجایی را که در زیر خواهد آمد برآورده کنند تا جملات نا خواسته در سمت راست معادله (۱۴-۲) را حذف نماید. لذا خواهیم داشت:

$$\begin{aligned} \alpha_i \beta + \beta \alpha_i &= 0, & i &= 1, 2, 3 \\ \alpha_i \alpha_j + \alpha_j \alpha_i &= 0, & i, j &= 1, 2, 3; \quad i > j \\ \alpha_i^2 &= \beta^2 = I. \end{aligned} \quad (16-2)$$

با بخاطر آوردن ماتریسهای پائولی به همراه روابط عدم جابجایی شان برای ذرات غیر نسبیتی با اسپین $\frac{1}{2}$ ، طبیعی است که ماتریسهای α و β را باید بگونه ای در نظر بگیریم که روی بردار ستونی (اسپینور) ψ اثر کند. لذا می توان انتظار داشت که معادله دیراک نمایش دهنده ذره با اسپین نیم صحیح $\frac{1}{2}$ می باشد. براحتی می توان ثابت نمود [۶] که برای ماتریسهای که شرایط معادله دیراک را برآورده کند کمترین ابعاد ممکن این ماتریسها 4×4 میباشد. شکل مرسوم ماتریسهای α و β عبارت هستند از:

$$\alpha_i = \begin{pmatrix} 0 & \sigma_i \\ \sigma_i & 0 \end{pmatrix}, \quad \beta = \begin{pmatrix} I & 0 \\ 0 & -I \end{pmatrix} \quad (17-2)$$

که در آن، I ها ماتریسهای یکه ی 2×2 اند و σ_i ها ماتریسهای پائولی می باشند. از این ماتریسها پیداست که توابع موج باید ماتریسهای ستونی چهار مولفه ای باشند:

$$\psi = \omega e^{-ip \cdot x}, \quad \omega = \begin{pmatrix} \phi \\ \chi \end{pmatrix} \quad (18-2)$$

که ϕ و χ اسپینورهای دو مولفه ای اند. اگر این تابع موج را در معادله ی دیراک قرار دهیم به

دستگاه دو معادله‌ای زیر می‌رسیم:

$$\begin{cases} (E - m)\phi = \vec{\sigma} \cdot \vec{p} \chi \\ (E + m)\chi = \vec{\sigma} \cdot \vec{p} \phi \end{cases} \quad (19 - 2)$$

با حل این دو معادله برای E بدست می‌آوریم:

$$E = \pm(p^2 + m^2)^{1/2} \quad (20 - 2)$$

از این دو معادله دیراک، مشکل انرژی منفی را حل نکرده است. در مورد چگالی احتمال، وضع کمی تفاوت می‌کند. همیوگ هریتی رابطه‌ی (۲-۲۱) به شکل زیر است:

$$-i \frac{\partial \psi^\dagger}{\partial t} = \psi^\dagger (+i \vec{\alpha} \cdot \overleftarrow{\nabla} + \beta m) \quad (21 - 2)$$

که $\overleftarrow{\nabla}$ یعنی عملگر ∇ که روی عناصر قبل از خود اثر می‌کند چرا که ψ^\dagger و $\vec{\alpha}$ ماتریس هستند و نمی‌توان ترتیب ضرب آنها را جابجا کرد. با ضرب این رابطه از راست در ψ و رابطه‌ی (۲-۱۲) از چپ در ψ^\dagger و تفریق این دو رابطه از هم مجدداً می‌توان چگالی احتمال را بدست آورد:

$$\rho = \psi^\dagger(x, t) \psi(x, t) \quad (22 - 2)$$

که به وضوح، کمیتی مثبت است.

۲.۲ تعابیر دیراک و فاینمن برای حل‌های با جواب منفی

برای الکترون آزاد در معادله دیراک، ترازهای انرژی مثبت و منفی حول مقدار $E=0$ بطور متقارن وجود خواهد داشت. به منظور اجتناب از انتقال الکترون هائی با انرژی مثبت به حالتهائی با انرژی منفی، «خلاء» در بردارنده حالتهائی با انرژی منفی می‌باشد که بالکترون‌ها پر شده است. بدین ترتیب اصل طرد پائولی مانع از فرو ریزش الکترون‌ها از ترازهای مثبت به ترازهای منفی خواهد شد. خلائی که بدین شکل تعریف می‌شود شامل انرژی‌ها و بارهای منفی خواهد بود. اما از آنجائیکه برای تمام مشاهده پذیرها می‌توانیم افت و خیزی در انرژی و بار داشته باشیم لذا می‌توان با فرضیات فوق به یک تئوری قابل قبول دست یافت. دیراک نبود یک الکترون با انرژی منفی را با «حفره» نشان داد. به این ترتیب انرژی و بار حفره به صورت زیر است

$$\begin{aligned} \text{یک انرژی مثبت} &\rightarrow (E \text{ منفی}) \\ \text{یک بار مثبت} &\rightarrow (-q_e) \\ \text{انرژی حفره} &= - \\ \text{بار حفره} &= - \end{aligned}$$

او همچنین نبود یک الکترون با انرژی منفی و «اسپین بالا» را به معادل حضور پوزیترون با انرژی مثبت و «اسپین پایین» تعبیر کرد. بدین ترتیب دیراک وجود ضد ذره (پوزیترون) را پیشگویی کرد. چند سال بعد، در ۱۹۳۲ کارل اندرسون پوزیترون را کشف کرد و جایزه‌ی نوبل را از آن خود ساخت.

حال چه می توان راجع به جوابهای انرژی منفی معادله ی کلاین-گوردن گفت ؟. واضح است که علیرغم موفقیت بارز تعبیر دیراک برای ذراتی با اسپین $\frac{1}{2}$ ، تعبیر فوق برای ذراتی با اسپین صفر قابل اعمال نیست چرا که بوزونها منحصر به اصل طرد نمی باشند.

فاینمن تعبیر دیگری از انرژی منفی ارائه داد. با این تعبیر، ضد ذره ای با انرژی مثبت که در زمان به جلو می رود معادل است با ذره ای با انرژی منفی که در زمان به عقب برمی گردد [۷]. مانند بخش قبل، همانطور که ρ را از معادله ی کلاین-گوردن بدست آوردیم، می توانیم \vec{j} (چگالی شار) را بدست آوریم:

$$\vec{j} = 2|N|^2 \vec{p} \quad (2-23)$$

ρ و \vec{j} مولفه های چهار بردار چگالی شارند که اگر در بار الکتریکی ضرب شوند، چهار بردار چگالی جریان را نتیجه می دهند.

$$j_{em}^\mu(\pi^+) = (+e)(\rho, \vec{j}) = (+e)2|N|^2(+(\vec{p}^2 + m^2)^{1/2}, \vec{p}) \quad (2-24)$$

$$j_{em}^\mu(\pi^-) = (-e)2|N|^2(+(\vec{p}^2 + m^2)^{1/2}, \vec{p}) = (+e)2|N|^2(-(\vec{p}^2 + m^2)^{1/2}, -\vec{p})$$

لذا بعنوان مثال حرکت π^- را می توان معادل با حرکت π^+ که تمام مولفه های چهار بردار چگالی شار آن در یک علامت منفی ضرب شده اند، در نظر گرفت. با این تعبیر، معادله ی کلاین-گوردن برای بوزون ها معتبر می گردد و معادله ی دیراک برای فرمیون ها مناسب خواهد بود.

۳.۲ تقریب اول در تئوری اختلالی QED

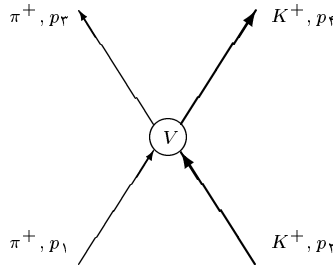
آنچه تا کنون گفتیم برای حالتی بود که پتانسیل وجود نداشته باشد. در صورت وجود پتانسیل باید از نظریه ی اختلال استفاده کنیم. در حضور پتانسیل، معادله ی کلاین-گوردن به شکل زیر تبدیل می شود:

$$(\square^2 + m^2)\phi = -V\phi. \quad (2-25)$$

در نظریه ی اختلال، دامنه ی پراکندگی برای ما مهم است. در مکانیک کوانتومی نسبیتی، دامنه ی پراکندگی در تقریب مرتبه ی اول به شکل زیر است:

$$A = i^{-1} \int \int d^4x dt \psi_f^* V \psi_i \quad (2-26)$$

که در آن فرض شده ذره ی آزاد با تابع موج ψ_i تحت تأثیر پتانسیل V قرار می گیرد و به ذره ی آزادی با تابع موج ψ_f تبدیل می شود. بعنوان مثال اندرکنش یک π^+ را با یک K^+ در نظر می گیریم.



شکل (۱-۲): برهمکنش π^+ با K^+

اگر π^+ در یک پتانسیل برداری A^μ قرار بگیرد، با استفاده از روش استاندارد توصیف کوانتم مکانیک، معادله‌ی حاکم بر آن با تبدیل ∂^μ به $\partial^\mu + ieA^\mu$ در معادله‌ی کلاین-گوردن بدست می‌آید، بطوریکه:

$$(\square^\nu + m^\nu)\phi = -ie(\partial_\mu A^\mu + A^\mu \partial_\mu)\phi + e^\nu A^\nu \phi. \quad (27-2)$$

چون در تقریب مرتبه‌ی اول هستیم از جمله‌ی شامل A^2 صرفنظر می‌کنیم. پس دامنه‌ی پراکندگی به شکل زیر می‌شود:

$$A = e \int d^4x \psi_\pi^* (\partial_\mu A^\mu + A^\mu \partial_\mu) \psi_K = e \int d^4x [(-\partial_\mu \psi_\pi^*) \psi_K + \psi_\pi^* (\partial_\mu \psi_K)] A^\mu \quad (28-2)$$

در گام آخر از انتگرال‌گیری جزء به جزء استفاده کرده‌ایم. ψ_1 و ψ_2 توابع موج π^+ هستند و A^μ پتانسیل ناشی از حضور K^+ است. پس داریم:

$$A = -i \int j_\mu(\pi^+) A^\mu d^4x \quad (29-2)$$

که در آن از رابطه‌ی (۱۰-۲) استفاده کرده‌ایم و «جریان انتقال الکترومغناطیس» را به شکل زیر تعریف کرده‌ایم:

$$j_\mu(\pi^+) = ie[\psi_\pi^* (\partial_\mu \psi_K) - (\partial_\mu \psi_\pi^*) \psi_K] \quad (30-2)$$

به راحتی می‌توان ثابت کرد که معادلات ماکسول در پیمانه‌ی لورنتس ($\partial^\mu A_\mu = 0$) به شکل چهار برداری زیر خواهد شد:

$$\square^\nu A^\mu = j_{em}^\mu \quad (31-2)$$

اگر جریان انتقال الکترومغناطیس را برای ذره‌ی K^+ بنویسیم، داریم:

$$j^\mu(K^+) = ie[\psi_\pi^* (\partial^\mu \psi_K) - (\partial^\mu \psi_\pi^*) \psi_K] = e N_\pi N_K (p_\pi + p_K)^\mu e^{i(p_\pi - p_K) \cdot x} \quad (32-2)$$

که از موج تختی به شکل معادله‌ی (۷-۲) استفاده کرده‌ایم. با این رابطه و رابطه‌ی (۳۰-۲) پتانسیل برداری تولید شده بوسیله‌ی K^+ به شکل زیر خواهد بود:

$$A^\mu = -q^{-2} j^\mu(K^+), \quad q^\mu = (p_K - p_\pi)^\mu = (p_\pi - p_K)^\mu \quad (33-2)$$

q^2 در اصل مربع جرم فوتون مجازی تبادل یافته است. اگر این رابطه را در رابطه‌ی (۲۹-۲) جایگزین کنیم خواهیم داشت:

$$A_{\pi+K^+} = -i \int j_\mu(\pi^+) A^\mu d^4x = +i \int j_\mu(\pi^+) q^{-2} j^\mu(K^+) d^4x \quad (34-2)$$

$$= +ie^\nu N_\pi N_\pi N_\pi N_K (p_\pi + p_\pi)_\mu (p_\pi + p_K)^\mu \times q^{-2} \int d^4x e^{i(p_\pi - p_\pi) \cdot x} e^{i(p_\pi - p_K) \cdot x}$$

که آخرین انتگرال برابر با $(2\pi)^4 \delta^4(p_3 + p_4 - p_1 - p_2)$ است.

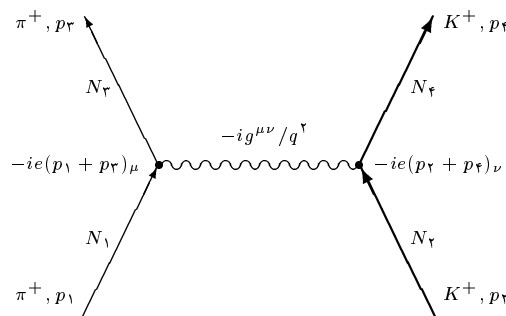
۴.۲ دیاگرام فاینمن برای عناصر ماتریس پراکندگی

دامنه‌ی پراکندگی بدست آمده در رابطه‌ی (۲-۳۴) را می‌توان به شکل زیر نوشت:

$$A_{\pi^+ K^+} = \quad (2-35)$$

$$-iN_1 N_2 N_3 N_4 (2\pi)^4 \delta^4(p_3 + p_4 - p_1 - p_2) \times e(p_1 + p_2)_\mu \frac{(-g^{\mu\nu})}{q^2} e(p_3 + p_4)_\nu$$

$g^{\mu\nu}$ تانسور متریک است و زیر نویس ν در $(p_3 + p_4)_\nu$ را به بالا نویس μ تبدیل می‌کند. هر قسمت از این معادله را می‌توان به یک قسمت از دیاگرامی که به دیاگرام فاینمن معروف است به شکل زیر نسبت داد:



شکل (۲-۲): دیاگرام فاینمن

پنج قاعده‌ی کلی برای این دیاگرام حکمفرماست:

(۱) برای هر خط دیاگرام 1° ، یک ثابت بهنجارش N_i وجود دارد.

(۲) اندرکنش بین دو ذره توسط یک فوتون مجازی (خط موج گونه که به آن انتشارگر^{۱۱} می‌گویند) که کمیت $-ig^{\mu\nu}/q^2$ را به آن نسبت می‌دهیم انجام می‌گیرد. یک فوتون حقیقی معادله‌ی زیر را ارضا می‌کند:

$$\square^2 A^\mu = 0 \quad (2-36)$$

که برای موج تخت، این رابطه معادل است با $q^2 = 0$. اما اکنون رابطه‌ی (۲-۳۱) که در آن $j_{em}^\mu \neq 0$ است برقرار می‌باشد. در نتیجه داریم $q^2 \neq 0$. یعنی فوتون، جرم داریا مجازی است.

^{۱۱} Leg
^{۱۱} Propagator

(۳) دیاگرام بالا دارای دو رأس^{۱۲} است که با دایره‌ی توپرنشان داده شده است و به هر کدام کمیت چهار برداری $-ie(p_i + p_j)_\mu$ نسبت داده شده است.

(۴) ضرایب $\pm i$ که در قسمتهای مختلف عناصر ماتریسی ظاهر شده، اتفاقی نیست و طوری تنظیم شده که برای دیاگرام‌های فاینمن در مراتب بالاتر نیز مناسب باشد.

(۵) کمیت $(2\pi)^4 \delta^4(p_3 + p_4 - p_1 - p_2)$ به طور صریح در دیاگرام ظاهر نشده است ولی در هر دیاگرامی به طور ضمنی، این کمیت وجود دارد و معرف بقاء چهار بردارهای اندازه حرکت می باشد که به خطوط خارجی دیاگرام نسبت داده می شود.

۵.۲ محاسبه‌ی سطح مقطع

از رابطه‌ی (۲-۱۱) پیدااست که بجای آنکه یک ذره در حجم V داشته باشیم، $2E$ ذره در حجم V داریم. پس بهنجارش برای $2E$ ذره باید انجام شود. یعنی برای ذره‌ی i ام داریم:

$$\int_V \rho d^3x = 2E_i \quad (2-37)$$

$$\Rightarrow \int_V 2N_i^\dagger E_i d^3x = 2E_i \Rightarrow 2N_i^\dagger E_i V = 2E_i \Rightarrow N_i = V^{-1/2}$$

اکنون برای بدست آوردن سطح مقطع، سه مرحله را پشت سر می گذاریم:

(۱) نرخ گذار در واحد حجم به صورت زیر تعریف می شود:

$$P_{fi} = |A_{fi}|^2 / VT \quad (2-38)$$

که T زمان برهم کنش است. اگر دامنه‌ی ناوردای F را به شکل زیر تعریف کنیم:

$$F = e^2 q^{-2} (p_1 + p_2)_\mu (p_2 + p_4)^\mu \quad (2-39)$$

در نتیجه داریم:

$$A_{fi} = -i(2\pi)^4 \delta^4(p_3 + p_4 - p_1 - p_2) N_1 N_2 N_3 N_4 F \quad (2-40)$$

از رابطه‌ی (۲-۴۲) به راحتی می توان ثابت کرد که:

$$P_{fi} = (2\pi)^4 \delta^4(p_3 + p_4 - p_1 - p_2) (N_1 N_2 N_3 N_4)^2 |F|^2 \quad (2-41)$$

(۲) برای آنکه کمیتی بیابیم که از یک آزمایش به آزمایش دیگر تغییر نکند باید وابستگی این نرخ گذار را به شار ذرات فرودی و تعداد ذرات هدف، حذف کنیم. شار ذرات فرودی برابر است با تعداد ذرات در حجم V ضربدر سرعت ذرات. یعنی

^{۱۲} vertex

(۳) و در نهایت، ضریب فضای فاز برای دو جسم، که به تعداد ذرات خروجی در حجم V تقسیم شده باشد برابر است با:

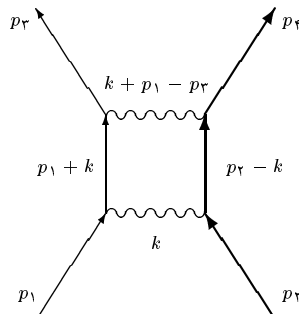
$$\frac{V}{(2\pi)^3} \frac{d^3 p_3}{2E_3} \frac{V}{(2\pi)^3} \frac{d^3 p_4}{2E_4} \quad (42-2)$$

با کنار هم قرار دادن همه‌ی این عوامل، سطح مقطع دیفرانسیلی را بصورت زیر خواهیم داشت:

$$d\sigma = P_{fi} \frac{V^2}{2E_1 2E_2 |v|} \frac{V}{(2\pi)^3} \frac{d^3 p_3}{2E_3} \frac{V}{(2\pi)^3} \frac{d^3 p_4}{2E_4} \quad (43-2)$$

۶.۲ تصحیح مرتبه بالاتر در نظریه QED

آنچه تا کنون محاسبه کردیم تقریب اول نظریه اختلالی و از مرتبه‌ی α^2 بوده است. می‌توان دیاگرام فاینمن را به راحتی به مراتب α^2 و بالاتر نیز گسترش داد. مثلاً دیاگرام زیر برای تبادل دو فوتون با چهار بردار اندازه حرکت k ، و در مرتبه‌ی α^2 می‌باشد [۸].



شکل (۲-۳): دیاگرام فاینمن برای تبادل دو فوتون

متأسفانه بیشتر انتگرال‌های بوجود آمده از حلقه‌هایی شبیه این، واگرا هستند. و این در حالی است که ما مشاهده پذیرهای فیزیکی را بر حسب توان‌های α بسط می‌دهیم و ضرایب α^2 یا بالاتر باید از ضریب α کوچکتر باشند تا بسط، همگرا و قابل اندازه‌گیری باشد. بعد از بحث مفصلی در این زمینه معلوم می‌شود که می‌توان این واگرایی‌ها را حذف کرد به طوری که سهم جملات مراتب بالاتر از سهم اولین جمله کمتر باشد. این کار را بازهنجارش پذیری^{۱۴} می‌نامند. به این دلیل به آن بازهنجارش پذیری می‌گویند که

^{۱۳} ثابت ساختار ریز
^{۱۴} Renormalization

در اصل، سهم تمام واگرایی‌ها به طور معجزه‌آسایی در کمیات فیزیکی مانند جرم یا بار الکتریکی که قابل اندازه‌گیری هستند وارد شده و مشکل بینهایت شدن کمیات از بین خواهد رفت. در نتیجه این کمیات را می‌توان با مقدار فیزیکی آنها (که اندازه‌گیری می‌کنیم) جایگزین کرد و همه چیز، محدود باقی می‌ماند.

۳ حلقه‌ها و بازبهنجارش پذیری

آنچه تا کنون گفتیم برای پراکندگی بوزون‌ها، که از معادله‌ی کلاین-گوردون پیروی می‌کنند صادق است. فرمیون‌ها از معادله‌ی دیراک پیروی می‌کنند. رابطه‌ی (۱۹-۲) را به خاطر آورید. این دستگاه معادلات را از معادله‌ی دیراک بدست آوردیم. از این دستگاه معادلات می‌توان χ را بر حسب ϕ بدست آورد. در این صورت با توجه به رابطه‌ی (۱۸-۲) داریم:

$$\omega_\phi = \begin{pmatrix} \phi \\ \frac{\vec{\sigma} \cdot \vec{p}}{E+m} \phi \end{pmatrix} \quad (۱-۳)$$

همچنین می‌توان ϕ را بر حسب χ بدست آورد:

$$\omega_\chi = \begin{pmatrix} \frac{\vec{\sigma} \cdot \vec{p}}{E-m} \chi \\ \chi \end{pmatrix} \quad (۲-۳)$$

اگر ذره در حال سکون باشد، یعنی $\vec{p} = 0$ ، در نتیجه $E = m$ جواب مثبت است و در این صورت از معادله‌ی (۱۹-۲) داریم $\chi = 0$. جواب منفی به شکل $E = -m$ است که در این صورت مجدد از معادله‌ی (۱۹-۲) داریم $\phi = 0$. پس معادله‌ی (۱-۳) برای انرژی‌های مثبت مناسب است و معادله‌ی (۲-۳) برای انرژی‌های منفی. اما در انرژی‌های منفی \vec{p} و E باید در یک علامت منفی ضرب شوند. پس جواب‌ها، برای انرژی‌های مثبت و منفی به شکل زیرند:

$$\omega_+ = \begin{pmatrix} \phi \\ \frac{\vec{\sigma} \cdot \vec{p}}{E+m} \phi \end{pmatrix}, \quad \omega_- = \begin{pmatrix} \frac{\vec{\sigma} \cdot \vec{p}}{E+m} \chi \\ \chi \end{pmatrix} \quad (۳-۳)$$

بنابراین کلی‌ترین شکل تابع موج به صورت زیر است:

$$\psi_\pm = N\omega_\pm e^{-ip \cdot x} = \begin{Bmatrix} u(p, s) \\ v(p, s) \end{Bmatrix} e^{-ip \cdot x} \quad (۴-۳)$$

که p معرف اندازه حرکت و s معرف اسپین است. $N\omega_+$ را برابر با u و $N\omega_-$ را برابر با v قرار داده‌ایم. همانند قبل می‌توانیم ρ و \vec{j} را بدست آوریم:

$$\rho = \psi^\dagger \psi, \quad \vec{j} = \psi^\dagger \vec{\alpha} \psi \quad (۵-۳)$$

با تعریف کمیت چهاربرداری γ و نیز $\bar{\psi}$ به شکل زیر:

$$\gamma^0 = \beta, \quad \gamma^i = \beta \alpha_i, \quad i = 1, 2, 3, \quad \bar{\psi} = \psi^\dagger \gamma^0 \quad (6-3)$$

می‌توانیم شکل واحدی برای ρ و \vec{j} بسازیم:

$$\rho = \bar{\psi} \gamma^0 \psi, \quad \vec{j} = \bar{\psi} \vec{\gamma} \psi \quad (7-3)$$

و سرانجام می‌توانیم چهاربردار چگالی جریان را تعریف کنیم:

$$j^\mu = \bar{\psi} \gamma^\mu \psi \quad (8-3)$$

و همانند قبل، جریان گذار الکترومغناطیس برای یک فرمیون با بار $-e$ برابر است با:

$$j_\mu(e^-) = (-e) \bar{\psi}_f \gamma_\mu \psi_i = (-e) \bar{u}_f \gamma_\mu u_i e^{-iq \cdot x} \quad (9-3)$$

که در آن $q = p_f - p_i$.

اکنون پراکندگی یک الکترون از بار ساکن $Q = Ze$ را در نظر می‌گیریم. طبق رابطه‌ی (۲-۳۲) داریم:

$$A_{eQ} = +i \int j_\mu(e^-) q^{-2} j^\mu(Q) d^4x \quad (10-3)$$

برای Q در حال سکون داریم:

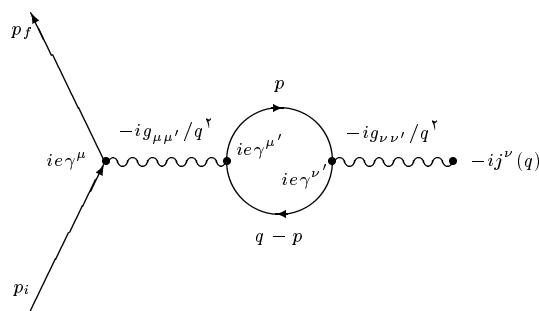
$$\rho(x) = Ze \delta(x), \quad \vec{j}(x) = 0 \quad (11-3)$$

و با جایگزین کردن رابطه‌ی (۳-۹) و (۳-۱۱) در رابطه‌ی (۳-۱۰)، به سادگی دامنه‌ی ناوردای F محاسبه می‌شود:

$$F = (ie \bar{u}_f \gamma_0 u_i) \left(\frac{-i}{q^2} \right) (-iZe) \quad (12-3)$$

۱.۳ تصحیحات مرتبه‌های بالاتر

اکنون به مرتبه‌ی α^2 می‌رویم. در این مرتبه، فوتون مجازی تبادل یافته در میانه‌ی راه به یک ذره و ضد ذره تبدیل می‌شود و دوباره ایندو به همان فوتون تبدیل می‌گردند.



شکل (۳-۱): دیاگرام فاینمن در مرتبه‌ی α^2

می‌توان طبق قوانین دیاگرام فاینمن، این ضد ذره را به صورت ذره‌ای در نظر گرفت که در

جهت (زمانی و مکانی) عکس حرکت می‌کند. در نتیجه حلقه‌ای مانند شکل (۳-۱) تشکیل می‌شود که گویا ذره‌ای روی آن در حرکت است. طبق قوانین فاینمن، دامنه‌ی ناوردا برای مرتبه‌ی دوم به شکل زیر است:

$$F = (-1)^1 (ie \bar{u}_f \gamma^\mu u_i) \left(-i \frac{g_{\mu\mu'}}{q^2} \right) \\ \times \int \frac{d^4 p}{(2\pi)^4} Tr \left\{ (ie \gamma_\mu) \frac{i(\gamma \cdot p + m)}{p^2 - m^2} (ie \gamma_\nu) \frac{i(\gamma \cdot p - \gamma \cdot q + m)}{(p - q)^2 - m^2} \right\} \quad (13-3) \\ \times \left(-i \frac{g_{\nu\nu'}}{q^2} \right) (-i j^\nu(q))$$

که $j^\nu(q)$ تبدیل فوریه‌ی چهاربردار چگالی جریان الکترومغناطیس ذره‌ی هدف است، که اگر ساکن باشد مقدار Ze را نتیجه می‌دهد. در واقع با تبدیل زیر می‌توانیم تصحیح مرتبه‌ی دوم را به معادلات اضافه کنیم:

$$-i \frac{g_{\mu\nu}}{q^2} \rightarrow -i \frac{g_{\mu\nu}}{q^2} + \left(-i \frac{g_{\mu\mu'}}{q^2} \right) I^{\mu'\nu'} \left(-i \frac{g_{\nu\nu'}}{q^2} \right) \\ \rightarrow -i \frac{g_{\mu\nu}}{q^2} + \left(\frac{-i}{q^2} \right) (-i g_{\mu\nu} q^2 I(q^2)) \left(\frac{-i}{q^2} \right) \quad (14-3)$$

که در این رابطه:

$$-i g_{\mu\nu} q^2 I(q^2) = \\ (-1)^1 \int \frac{d^4 p}{(2\pi)^4} Tr \left\{ (ie \gamma_\mu) \frac{i(\gamma \cdot p + m)}{p^2 - m^2} (ie \gamma_\nu) \frac{i(\gamma \cdot p - \gamma \cdot q + m)}{(p - q)^2 - m^2} \right\}. \quad (15-3)$$

محاسبه‌ی این انتگرال کاری بسیار طولانی است، اما نتیجه‌ی آن به صورت زیر است [۹]:

$$I(q^2) = \left[\frac{\alpha}{2\pi} \int_{m^2}^{\infty} \frac{dp^2}{p^2} - \frac{2\alpha}{\pi} \int_0^1 dz z(1-z) \ln \left(1 - \frac{q^2 z(1-z)}{m^2} \right) \right] \quad (16-3)$$

حد بالای ∞ در انتگرال اول همان حد واگرایی است که در بخش (۲) به آن اشاره شد. در اینجا آنرا با M^2 جایگزین می‌کنیم و سپس هر جا که لازم باشد M^2 را به سمت بینهایت میل می‌دهیم. به راحتی ثابت می‌شود که اگر $(-q^2)$ کوچک باشد، رابطه‌ی

(۳-۱۶) به رابطه‌ی زیر میل می‌کند:

$$I(q^2) = \left[\frac{\alpha}{3\pi} \ln \left(\frac{M^2}{m^2} \right) + \frac{\alpha}{15\pi} \frac{q^2}{m^2} \right] \quad (۳-۱۷)$$

اگر این رابطه را در رابطه‌ی (۳-۱۴) جایگزین کنیم دامنه‌ی ناورد را به شکل زیر خواهد شد:

$$F = (ie\bar{u}\gamma_0 u) \left(\frac{-i}{q^2} \right) \left[1 - \frac{\alpha}{3\pi} \ln \left(\frac{M^2}{m^2} \right) - \frac{\alpha}{15\pi} \frac{q^2}{m^2} + O(e^4) \right] (-iZe) \quad (۳-۱۸)$$

اگر بار الکتریکی e_R را به شکل زیر تعریف کنیم:

$$e_R = e \left[1 - \frac{e^2}{12\pi^2} \ln \left(\frac{M^2}{m^2} \right) \right]^{1/2} \quad (۳-۱۹)$$

دامنه‌ی ناورد را می‌توان به صورت زیر نوشت:

$$F = (ie_R\bar{u}\gamma_0 u) \left(\frac{-i}{q^2} \right) \left(1 - \frac{e_R^2}{60\pi^2} \frac{q^2}{m^2} \right) (-iZe_R) \quad (۳-۲۰)$$

یعنی تمام واگرایی‌ها به شکل M در بار الکتریکی e_R ظاهر شده است. حال اگر این بار را با مقدار تجربی آن جایگزین کنیم تمام واگرایی‌ها حذف خواهند شد و دامنه‌ی ناورد، محدود باقی خواهد ماند.

۲.۳ بازبهنجارش پذیری

اکنون خواهیم دید که چگونه می‌توان واگرایی M را حذف کرد. از این پس، مقدار بار الکتریکی در پایین‌ترین مرتبه‌ی دیاگرام را که به «باربرهنه^{۱۵}» معروف است، e_0 می‌نامیم (واضح است که $e_0^2/4\pi = 1/137$)، را با e نمایش خواهیم داد. اگر بخواهیم بار e را با مقدار تجربی آن جایگزین کنیم باید آزمایش کنیم. اما آزمایش، در یک مقدار خاص انرژی انجام می‌شود و فوتون تبادل یافته، دارای یک انرژی خاص، مثلاً $q^2 = -Q^2 = -\mu^2$ خواهد بود. معمول است که از q^2 که کمیتی مثبت است استفاده کنند. در نتیجه در حالت کلی می‌توان بار e را بر حسب e_0 چنین نوشت:

$$e^2 = e_0^2 \left[1 - I(q^2 = -\mu^2) + O(e_0^4) \right] \quad (۳-۲۱)$$

^{۱۵}Bare Charge

همچنین با استفاده از رابطه‌ی (۳-۱۸) دامنه‌ی ناورد را به شکل زیر بسط می‌دهیم:

$$\begin{aligned} F(e_o) &= (ie_o \bar{u} \gamma_o u) \left(\frac{-i}{q^2} \right) \left(1 - I(Q^2) + O(e^4) \right) (-iZe_o) \\ &= A(Q^2) e_o^2 (1 - I(Q^2) + O(e^4)) \end{aligned} \quad (22-3)$$

که $A(Q^2)$ را به شکل زیر تعریف کرده‌ایم:

$$A(Q^2) = (i \bar{u} \gamma_o u) \left(\frac{-i}{q^2} \right) (-iZ) \quad (23-3)$$

اکنون از رابطه‌ی (۳-۲۱)، e_o^2 را بر حسب e^2 بدست می‌آوریم:

$$e_o^2 = e^2 \left[1 - I(q^2 = -\mu^2) \right]^{-1} = e^2 \left[1 + I(q^2 = -\mu^2) \right] \quad (24-3)$$

که آنرا تا مرتبه‌ی $O(e^4)$ بسط داده‌ایم. این مقدار را در رابطه‌ی (۳-۲۲) قرار می‌دهیم تا دامنه‌ی ناورد را بر حسب e بدست آوریم:

$$\begin{aligned} F(e) &= A(Q^2) e^2 \left[1 + I(q^2 = -\mu^2) \right] \left[1 - I(Q^2) \right] \\ &= A(Q^2) e^2 \left[1 - I(Q^2) + I(q^2 = -\mu^2) + O(e^4) \right] \end{aligned} \quad (25-3)$$

جمله $O(e^4)$ اشاره دارد به عبارت $I(q^2 = -\mu^2)I(Q^2)$ و جملات مابعد آن که از مرتبه‌ی e^4 است. واضح است که $F(e)$ باید دقیقاً با $F(e_o)$ برابر باشد. زیرا F مشاهده‌پذیر است و مقدار آن بر حسب اینکه آنرا نسبت به کدام کمیت بسط دهیم، نباید تغییر کند.

همانطور که رابطه‌ی (۳-۱۷) را بدست آوردیم می‌توان ثابت کرد که اگر q^2 بزرگ باشد $I(q^2)$ در رابطه‌ی (۳-۱۶)، به صورت زیر خواهد بود:

$$I(q^2) = \frac{\alpha}{3\pi} \ln \left(\frac{M^2}{-q^2} \right) \quad (26-3)$$

با جایگذاری این رابطه در رابطه‌ی (۳-۲۵) بدست می‌آوریم:

$$\begin{aligned} F(e) &= A(Q^2) e^2 \left[1 - \frac{\alpha}{3\pi} \ln \left(\frac{M^2}{Q^2} \right) + \frac{\alpha}{3\pi} \ln \left(\frac{M^2}{\mu^2} \right) + O(e^4) \right] \\ &= A(Q^2) e^2 \left[1 + \frac{\alpha}{3\pi} \ln \left(\frac{Q^2}{\mu^2} \right) + O(e^4) \right] \end{aligned} \quad (27-3)$$

دیده می شود که M^2 حذف شده است اما کمیت غیرفیزیکی دیگری به نام μ^2 که به آن مقیاس بازبهنجارش پذیری می گویند وارد محاسبات شده است.

اکنون وابستگی تمام مشاهده پذیرها به این کمیت باید کمینه شود. یعنی، مثلاً برای F :

$$\mu \frac{dF}{d\mu} = \left(\mu \frac{\partial}{\partial \mu} + \mu \frac{\partial e}{\partial \mu} \frac{\partial}{\partial e} \right) F = 0 \quad (28-3)$$

به این رابطه معادله گروه بازبهنجارش پذیری گفته می شود. آنچه تا کنون گفتیم در مرتبه e^4 بوده است. انتظار داریم که اگر محاسبات روی تمام مراتب انجام گیرد و بتوانیم تمام جملات بسط را با یکدیگر جمع بزنیم نگاه وابستگی به پارامتر غیر فیزیکی μ به طور خودکار حذف گردد. در مرجع [10] نشان داده شده که چگونه این امر برای حالتی که دارای دو مقیاس غیر فیزیکی بازبهنجارش پذیری μ و تجزیه پذیری M هستیم اتفاق می افتد.

۳.۳ پوشش بار در QED

از رابطه (۲۴-۳) داریم:

$$e^2(Q^2) = e_0^2 \frac{1}{1 + I(q^2)} \quad (29-3)$$

از این رابطه به وضوح پیداست که باری که اندازه می گیریم صریحاً به Q^2 وابسته است. همچنین می توان $\alpha(Q^2) = e^2(Q^2)/4\pi$ را که به آن «ثابت جفت شدگی رونده^{۱۶}» می گویند بدست آورد.

$$\alpha(Q^2) = \frac{\alpha_0}{1 - \frac{\alpha_0}{3\pi} \ln \left(\frac{Q^2}{M^2} \right)} \quad (30-3)$$

به این دلیل به آن «رونده» می گویند که به Q^2 وابسته است. می توانیم مانند بخش قبل، حد بالای M را حذف کنیم و با وارد کردن μ این رابطه را بازبهنجارش کنیم:

$$\alpha(Q^2) = \frac{\alpha(\mu^2)}{1 - \frac{\alpha(\mu^2)}{3\pi} \ln \left(\frac{Q^2}{\mu^2} \right)} \quad (31-3)$$

چون $\alpha(Q^2)$ همیشه مثبت است پس عبارت $(\alpha/3\pi) \ln(Q^2/\mu^2)$ باید از یک، کوچکتر باشد. همینطور که Q^2 زیاد می شود، فوتون بارهای بیشتری را خواهد دید تا اینکه در یک مقدار بسیار بزرگ، اما محدود Q^2 ، ثابت جفت شدگی $\alpha(Q^2)$ نامحدود می شود.

^{۱۶} Running Coupling Constant

۴.۳ ثابت جفت‌شدگی رونده در QCD

ثابت جفت‌شدگی که در رابطه‌ی (۳-۳۱) معرفی شد در QED و برای تبادل فوتون است. همین فرایندها می‌تواند برای یک گلئون نیز اتفاق بیفتد. اما گلئون می‌تواند به یک کوارک و پاد کوارک، یا به دو گلئون عرضی، یا به یک گلئون عرضی و یک گلئون کولمبی تبدیل شود. در نتیجه برای یک حلقه، سه دیاگرام وجود دارد. سهم تمام دیاگرام‌ها را هم که محاسبه کنیم ضریب $\ln(Q^2/\mu^2)$ در مخرج کسر رابطه‌ی (۳-۳۱) چنین می‌شود [۱۱]:

$$\frac{\alpha_s(\mu^2)}{4\pi} \left(-\frac{2}{3} n_f - 5 + 16 \right) \quad (3-33)$$

که n_f تعداد طعم‌های کوارکی فعال است. با استفاده از این رابطه، ثابت جفت‌شدگی رونده در QCD چنین است:

$$\alpha_s(Q^2) = \frac{\alpha_s(\mu^2)}{1 + \frac{\alpha_s(\mu^2)}{12\pi} (33 - 2n_f) \ln \left(\frac{Q^2}{\mu^2} \right)} \quad (3-34)$$

می‌بینیم که در مخرج کسر، علامت منفی به علامت مثبت تبدیل شده است. فقط در دنیائی که دارای بیش از ۱۶ طعم کوارکی می‌باشیم (ما بطور مطمئنی در انرژی‌های موجود زیر این عدد خواهیم بود) علامت ضریب جمله لگاریتمی همانند آن چیزی است که در QED داریم. این بدین معنی است که با افزایش Q^2 مقدار $\alpha_s(Q^2)$ کاهش می‌یابد و لذا برای اندرکنشهای با فاصله کوتاه کوچک می‌باشد. در این حالت تئوری بطور مجانبی آزاد می‌باشد^{۱۷}. کوارک‌ها تا وقتی که کنار هم هستند آزادند. ولی هنگامی که بخواهیم آنها را از یکدیگر دور کنیم، نیروی بیشتری به هم وارد کرده و یکدیگر را با شدت بیشتری جذب می‌کنند. در این حالت اندرکنشها با فاصله بزرگ مد نظر بوده و بالطبع آن مقدار انرژی کاوش گرافوتونی، Q^2 ، کم شده و $\alpha_s(Q^2)$ افزایش می‌یابد. به همین دلیل نمی‌توان یک کوارک را از درون یک هادرون بیرون کشید و کوارک‌ها همیشه با هم و در داخل هادرون‌ها یافت می‌شوند. این را پربست کوارک‌ها^{۱۸} می‌نامند.

از رابطه‌ی (۳-۳۴) پیداست که در یک Q^2 ی به اندازه‌ی کافی کوچک، مقدار $\alpha_s(Q^2)$ می‌تواند نامحدود شود. با مساوی صفر قرار دادن مخرج این رابطه، می‌توان مقدار

^{۱۷} Asymptotic Freedom
^{۱۸} Quark Confinement

Q^2 را بدست آورد. در اینجا آنرا با Λ^2 نمایش می‌دهیم [۱۲]:

$$\Lambda^2 = \mu^2 \exp \left[\frac{-12\pi}{(33 - 2n_f)\alpha_s(\mu^2)} \right] \quad (35 - 3)$$

در اینصورت ثابت جفت‌شدگی برابر خواهد شد با:

$$\alpha_s(Q^2) = \frac{12\pi}{(33 - 2n_f) \ln \left(\frac{Q^2}{\Lambda^2} \right)} \quad (36 - 3)$$

اگر Q^2 بزرگتر از Λ^2 باشد، ثابت جفت‌شدگی کوچک خواهد شد و برهم‌کنش بین کوارک‌ها و گلوئون‌ها ضعیف است و تئوری اختلالی معتبر است. اگر Q^2 در حد Λ^2 باشد، کوارک‌ها و گلوئون‌ها در داخل خوشه‌هایی به نام هادرون، به شدت مقیدند و تئوری اختلالی در آنجا چندان اعتبار ندارد. تئوری، مقدار Λ را پیش‌بینی نکرده است و این، یک پارامتر آزاد است که از برازش داده‌های آزمایشگاهی مربوط به تابع ساختارهای هادرونی بدست آمده و مقدار آن حدوداً باید بین 0.1 تا 0.5 گیگا الکترون ولت می‌باشد.

۵.۳ نگاهی دیگر

هنگامی که در فرایند بازبهنجارش پذیری دامنه‌هائی که بر حسب m, e و ... محاسبه شده اند مجدد بر حسب m_R, e_R بیان می‌شوند یک پیچش غیراستادانه و نا پسند وقتی که نظریه از درون بررسی می‌شود وجود دارد. در حالیکه تفسیر فیزیکی فرایند مورد بحث ساده می‌باشد ولیکن ممکن است از دید ریاضی آنطور که انتظار می‌رود خوشایند نباشد. فرایند جانشین آن است که از ابتدا روی پارامترهائی در بسط اختلالی تا کید کنیم که همان کمیات فیزیکی m_R, e_R و... باشند. برای شروع این روش پارامتر جرم الکترون را در نظر بگیریم. این فرایند مبتنی بر معادله دیراک بصورت زیر است

$$(i\partial - m_R + eA + \delta m)\psi = 0 \quad (37 - 3)$$

(بطوریکه بعنوان مثال $\partial = \gamma^\mu \partial_\mu$) تا اینکه بر معادله زیر متکی باشد

$$(i\partial - m + eA)\psi = 0 \quad (38 - 3)$$

جائیکه در (۳۷-۳) ما جایجائی در جرم را بصورت $\delta m = m_R - m$ معرفی نموده‌ایم بطوریکه بعنوان یک اندرکنش جدید در نظر گرفته می‌شود و اکنون معادله دیراک برای یک ذره آزاد فیزیکی بصورت $(i\partial - m_R)\psi = 0$ می‌باشد. بطور مشابه، ماباید همه کمیاتی که در (۳۷-۳) ظاهر می‌شوند را بر حسب هم ارزهای بازبهنجارش شده آنها و

تصحیحات مختلف نظیر δm دوباره بنویسیم. بطور طبیعی وقتی به دنبال آن هستیم که دامنه ها را در این نظریه اختلالی جدید محاسبه کنیم با همان واگرائیهای قدیمی که قبلا داشتیم مواجه می شویم. هر چند اکنون یک تفاوت مهم وجود دارد و آن این است که سهم های قسمتهای جدید نظیر δm را که از طریق باز نویسی $m_{R^i e_R}$ بر حسب $m_{R^i e}$ ظاهر می شوند در نظر میگیریم. این قسمتهای اضافی از قبل ناشناخته می باشند (همانند بار عریان e و جرم m). ”یک نظریه بازبهنجارش پذیر، نظریه ای است که در آن همه این جملات می توانند طوری انتخاب شوند که همه واگرائیها را مرتبه به مرتبه در نظریه اختلالی جدید که مبتنی بر $m_{R^i e_R}$... است حذف نموده باشد. “ این جملات اضافی بعنوان ”جملات متقابل (Counter term)“ نامیده می شود [۱۳] و در یک نظریه بازبهنجارش پذیر تعداد محدودی از آنها وجود دارد. بسط بر حسب $m_{R^i e_R}$... بعنوان نظریه اختلالی بازبهنجارش پذیر نامیده می شود. در این روش تمام پارامترها بعنوان کمیات بازبهنجارش پذیر تفسیر می شوند.

مراجع

- [1] The original papers are collected in M.Gell-Mann and Y.Ne'eman, *The Eightfold way* (New York: Benjamin, 1964).
- [2] L. J.Tassie, *The Physics of Elementary particles*; Longman, 1973.
- [3] V. E Barnes et al, *Phys. Rev. Lett* **12** (1964) 204.
- [4] An extensive bibilography on the Quark model, and useful commentary, is given by O. W. Greenberg, *Am. Rev.J. Phys* **50** (1982) 1074.
- [5] O. W. Greenberg, *Phys.Rev.Lett.* **13** (1964) 598.
- [6] I. J. R. Aitchison, *Relativistic Quntum Mechanics* (1972); London: Macmillan.
- [7] I. J. R. Aitchison and A.J.G.Hey, *Gauge Theories in Particle Physics* Adam Hilger LED, Bristol (1982).
- [8] J. D. Bjorken and S.D. Drell, *Relativistic Quntum Mechanics* (1964); McGraw Hill, London.

- [9] J.M.Jauch and F.Rohlich, The Theory of Photons and Electrons (1976); Springer Verlag, Berlin.
- [10] C.J. Maxwell and A.Mirjalili, Nucl. Phys **B577** (2000) 209.
- [11] F.Halzen and A.D. Martin, Quarks and Leptons: An Introduction Course in Modern Physics (1984); John Wiley and Sons.
- [12] R.K. Ellis, W.J.Stirling and B.R.Webber, QCD and Collider Physics (1996); Cambridge university Press.
- [13] T.Muta, Foundations of Quantum Chromodynamics (1987); World Scientific Publishing.